

を表す角度であり、ここでは $\alpha = 0^\circ, 15^\circ, 45^\circ$ の場合について、モーメントとその軸方向の水平外力が作用するときの例を示す。水平外力は潮流力をモデル化したものであるが、ケーブル自体に作用する潮流力の影響は、浮体に作用する潮流力の影響に比べて小さいことが 2) からわかっているため考慮しない。なお 2) より $L = 100\text{m}$ のときの最大載荷荷重 $(f_z)_{\max}$ は 9700t である。

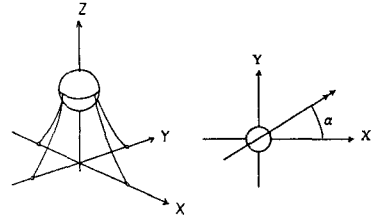


図-2 4点係留モデル

図-3 はモーメントをケーブルの剛性と浮体の半径で無次元化したものとモーメント軸回りの回転角 θ の関係を示したものである。ケーブル配置によってその非線形性に違いがあり、また f_h によって受ける影響にも一定の傾向は見られないが、モーメントが大きくなるにつれて回転に対する剛性が低下していくのが全体的な傾向である。 $\alpha = 0^\circ$ の場合と $\alpha = 15^\circ$ の場合では変形直後に一次的に剛性が高くなり、その後ある点を変曲点として減少に向かうのがわかる。

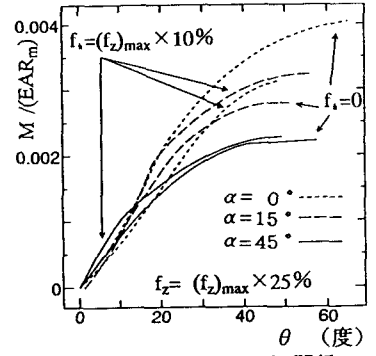


図-3 $M/(EAR_m) - \theta$ 関係

図-4は鉛直軸を基準とした回転角 ϕ を $M/(EAR_m)$ に対してプロットしたものである。 ϕ は M と仕事をしない角度であり、浮体がどれだけ倒れたかを表す。この図から、 M によって浮体の面外への回転にも影響がでることがわかる。初期状態での角度は f_h のみによって生じた浮体回転を表している。 $\alpha = 45^\circ$ の場合で $f_h = (f_z)_{\max} \times 10\%$ のときはあるモーメントレベルまで回転角に変化が起きないが、その後急速に剛性を失う。このことと図-3 とを合わせて考えると、初期状態での ϕ を保ったままで z 軸回りの回転が生じていることがわかる。つまり M によって浮体ケーブル系に z 軸回りのねじれが生じ、ケーブル張力の状態が変化したことによってモーメントに対する抵抗を失ったのである。

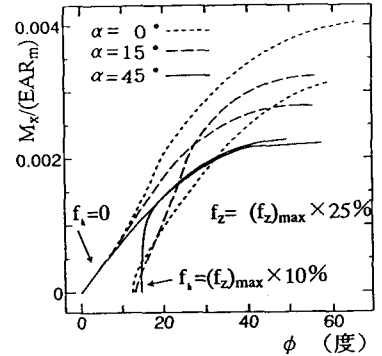


図-4 $M/(EAR_m) - \phi$ 関係

図-5 はモデル B に関しての f_h によるケーブル張力の変化を示したものである。水平外力がない場合はモーメントがあるレベルに達すると No.2,3 ケーブルの張力が零になり、No.1,4 ケーブル 2 本だけでモーメントに抵抗することがわかる。そしてこの瞬間が図-3 における曲線の変曲点となっている。 f_h が作用する場合は 4 本のケーブル全てがモーメントに対する抵抗を分担し、ケーブル張力が零となることはない。しかし剛性はこの場合の方が低くなる。

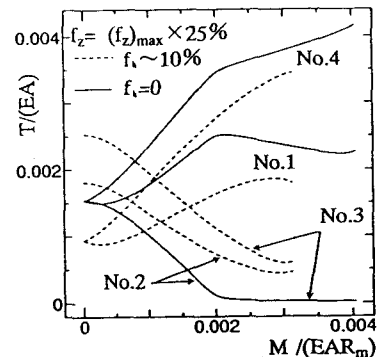


図-5 f_h を受けるときの張力の変化 ($\alpha = 0^\circ$)

参考文献

- 1) 藤井・倉西・岩熊：水中係留基礎に関する研究、年次学術講演会概要集 I-11,1990
- 2) 大本・倉西・岩熊：海中ケーブルによる浮体構造に関する研究、年次学術講演会概要集 I-13,1991
- 3) Roberts, S.M. and Shipman, J.S.: Two-Points Boundary Value Problems; Shooting Method, pp.17-49, ELSEVIR, 1972